

## تهیه نانوذرات اکسید کبالت ( $\text{Co}_3\text{O}_4$ ) با استفاده از روش تحریب حرارتی

علی‌اکبر دهنوخلچی<sup>۱\*</sup> و زهرا دهنوی<sup>۲</sup>

<sup>۱</sup> شیمی معدنی، دانشگاه گلستان

<sup>۲</sup> شیمی کاربردی، دانشگاه گلستان

تاریخ پذیرش: ۹۳/۵/۱۶

تاریخ تصحیح: ۹۳/۴/۲۴

تاریخ دریافت: ۹۳/۳/۲

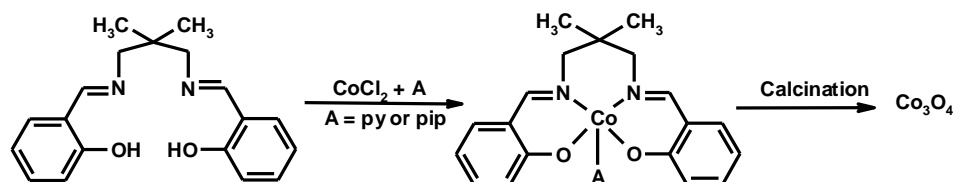
چکیده:

در این پژوهش نانوذرات اکسید کبالت ( $\text{Co}_3\text{O}_4$ ) به روش تحریب حرارتی حالت جامد از کمپلکس‌های بازشیف کبالت(II) با فرمول  $[\text{Co}(\text{Me}_2\text{salpn})(\text{pip})]$  و  $[\text{Co}(\text{Me}_2\text{salpn})(\text{py})]$  در دمای ۴۵۰ درجه سلسیوس به مدت ۳/۵ ساعت تهیه شدند. نانوذرات حاصل و کمپلکس‌های بازشیف تهیه شده به کمک روش‌های طیف‌سنجی مادون قرمز (FT-IR)، پراش پروتو ایکس (XRD) و میکروسکوپ الکترونی روشنی (SEM) شناسایی شدند. نتایج حاصل از SEM نشان می‌دهد که نانوذرات حاصل از کمپلکس‌های بازشیف تقریباً ساختار مسطح و نانوذرات کبالت اکسید حاصل از کمپلکس‌ها ساختار مکعبی دارند و اندازه آن‌ها بین ۷۵ تا ۱۵۰ نانومتر می‌باشد.

**وازگان کلیدی:** نانوذرات کبالت اکسید، تحریب حرارتی، بازشیف، میکروسکوپ الکترونی روشنی، پراش پروتو ایکس

### ۱- مقدمه

نانوذرات اکسیدهای فلزی بهدلیل کاربردهای متنوع و زیادی که از خود نشان می‌دهند، در سالیان اخیر مورد توجه گروه‌های تحقیقاتی زیادی قرار گرفته‌اند [۱-۵]. در این میان نانوذرات کبالت اکسید محدوده وسیعی از کاربردها را شامل می‌شود که می‌توان به مواردی چون مواد مغناطیسی، کاتالیزوری، سوپرخازن‌ها و باطری‌های لیتیومی اشاره کرد [۶-۸]. روش‌های مختلفی برای تهیه نانوذرات کبالت اکسید استفاده شده [۹-۱۲] که روش تحریب حرارتی (سولوترمال و حالت جامد) بهدلیل ارزان بودن دستگاه‌های مورد استفاده و همچنین کنترل شرایط مناسب برای تهیه نانوذرات با اندازه و مورفولوژی موردنظر یکی از روش‌های مناسب و پرکاربرد است [۱۳-۱۵]. در این پژوهش ابتدا کمپلکس‌های بازشیف کبالت(II) با فرمول  $[\text{Co}(\text{Me}_2\text{salpn})(\text{py})]$  و  $[\text{Co}(\text{Me}_2\text{salpn})(\text{pip})]$  تهیه و در ادامه با قرار دادن در کوره با دمای ۴۵۰ درجه سلسیوس به مدت ۳/۵ ساعت نانوذرات کبالت اکسید تهیه شدند (شکل ۱).

شکل ۱: ساختار کمپلکس‌های  $[Co(Me_2salpn)(py)]$  و  $[Co(Me_2salpn)(pip)]$  و تهیه نانوذرات کبالت اکسید از آن‌ها

## ۲- بخش تجربی

## ۱-۱- مواد و روش‌ها

تمامی مواد شیمیایی (حلال‌ها، آمین‌ها، آلدهیدها و غیره) مورد استفاده در این طرح از شرکت تجاری کیمیا اکسیر تهران خردباری و بدون خالص‌سازی مورد استفاده قرار گرفتند. طیف‌های ارتعاشی در ناحیه  $400\text{--}4000\text{ cm}^{-1}$  با دستگاه FT-IR Perkin Elmer با استفاده از قرص پتانسیم برومید (KBr) برای لیگاندها، کمپلکس‌های مربوط و نانوذرات حاصل گرفته شده است. آنالیز عنصری با دستگاه CHN-O-Rapid Heraeus XRD ترکیبات با دستگاه‌های پراش‌سنجد Bruker AXS با دستگاه Philips XL-30ESEM گرفته شده است. طیف diffractometer D8 ADVANCE با تابش‌های  $Cu K\alpha$  در محدوده زوایای  $2\theta = 10^\circ\text{--}80^\circ$  بدست آمده است. عکس‌های SEM به کمک دستگاه میکروسکوپ الکترونی روبشی Philips XL-30ESEM انجام شده است.

۲-۲- تهیه کمپلکس  $[Co(Me_2salpn)(py)]$  و نانوذرات  $Co_3O_4$  حاصل از آن

به ۵ میلی‌لیتر محلول متانولی حاوی ۰/۰۰ میلی‌مول از ترکیب سالیسیلآلدهید در حین همزدن، ۱۰ میلی‌لیتر محلول متانولی حاوی ۰/۲۰ میلی‌مول از ترکیب ۲-دی‌متیل-۱-پروپان به آرامی و قطره‌قطره اضافه و بعد از حدود ۳۰ دقیقه در دمای اتاق محلول شفاف زردرنگ تهیه شد. در ادامه به این محلول زردرنگ، ۱۰ میلی‌لیتر محلول متانولی حاوی ۰/۰۰ میلی‌مول از نمک  $CoCl_2 \cdot 6H_2O$  و چند قطره پیریدین به آرامی و همراه همزدن اضافه شد که رنگ محلول به صورت قهوه‌ای-سبز درآمد. مخلوط حاصل به مدت ۱/۵ ساعت در دمای اتاق هم‌زده شد. رسوبات کمپلکس با تبخیر آهسته حلal و بعد از چند روز تهیه و توسط قیف بوختر صاف و به مدت چند روز تحت خلاء خشک شدند. بازده واکنش ۷۵٪ است. برای شناسایی محصول نهایی از آنالیز عنصری و طیف‌ستنجی FT-IR استفاده کردیم.

*Anal. Calc. for  $C_{24}H_{25}N_3CoO_2$ : C, 64.57; H, 5.64; N, 9.41%. Found: C, 64.68; H, 5.59; N, 9.36%.*  
FT-IR (KBr pellet,  $\text{cm}^{-1}$ ): 1611 (C=N).

برای تهیه نانوذرات کبالت اکسید، ابتدا مقداری از کمپلکس  $[Co(Me_2salpn)(py)]$  را در یک بوته چینی به صورت پودر یکنواختی درآوردیم و سپس آن را در یک کوره الکتریکی با دمای ۴۵۰ درجه سلسیوس قرار دادیم. بعد از حدود ۳/۵ ساعت پودر سیاه رنگ حاصل را توسط متانول شستشو داده و سپس محصول نهایی را صاف و در مجاورت هوا آن‌ها راخشک کردیم. برای شناسایی محصول نهایی از طیف-سنجدی FT-IR استفاده کردیم.

FT-IR (KBr pellet,  $\text{cm}^{-1}$ ): 662, 568 ( $Co_3O_4$ ).

-۳-۲- تهیه کمپلکس [Co(Me<sub>2</sub>salpn)(pip)] و نانوذرات Co<sub>3</sub>O<sub>4</sub> حاصل از آن

تهیه این کمپلکس و نانوذرات حاصل از آن مشابه بخش ۲-۲ می باشد، با این تفاوت که در تهیه کمپلکس از پیپیریدین به جای پیریدین استفاده شده است.

Anal. Calc. for C<sub>24</sub>H<sub>31</sub>N<sub>3</sub>CoO<sub>2</sub>: C, 63.71; H, 6.91; N, 9.29%. Found: C, 63.78; H, 7.02; N, 9.45%. FT-IR (KBr pellet, cm<sup>-1</sup>): 3551 (pip), 1618 (C=N).

FT-IR (KBr pellet, cm<sup>-1</sup>): 662, 570 (Co<sub>3</sub>O<sub>4</sub>).

## -۳- بحث و نتیجه گیری

## -۱-۳- آنالیز عنصری کمپلکس ها

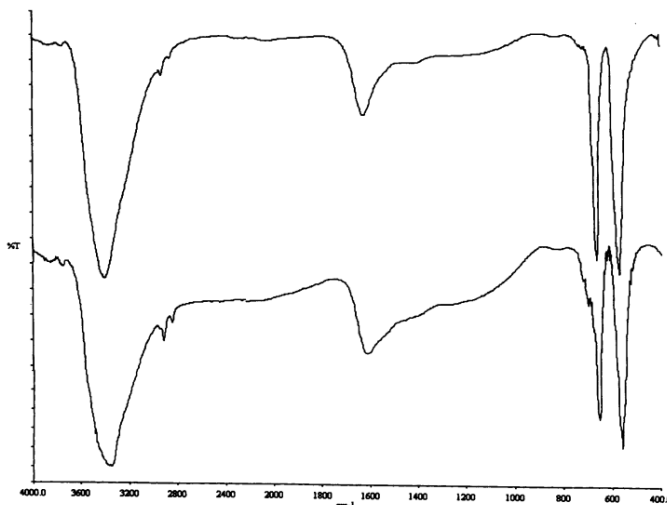
نتایج حاصل از آنالیز عنصری کمپلکس های مربوطه در جدول ۱ ارائه شده است. توافق خوب بین نتایج تنوری و تجربی، نشان دهنده خالص بودن ترکیبات تهیه شده است.

جدول ۱: نتایج آنالیز عنصری کمپلکس های سنتزی

Complex	%C (Exp)	%H (Exp)	%N (Exp)
[Co(Me <sub>2</sub> salpn)(py)]	64.57 (64.68)	5.64 (5.59)	9.41 (9.36)
[Co(Me <sub>2</sub> salpn)(pip)]	63.71 (63.78)	6.91 (7.02)	9.29 9.45)

## -۲-۳- طیف ارتعاشی کمپلکس های سنتزی و نانوذرات حاصل از آن ها

در طیف ارتعاشی کمپلکس های سنتزی پیک مربوط به ارتعاش های گروه های مختلف دیده می شود که مهم ترین آن ها پیک مربوط به ارتعاش گروه ایمینی (C=N) است که در محدوده  $\text{cm}^{-1}$  ۱۶۱۱ و ۱۶۱۸ (بسته به نوع کمپلکس) ظاهر می شود. عدم وجود پیک مربوط به گروه آدھیدی و آمینی در این کمپلکس ها دلیلی بر وجود لیگاند بازشیف در این کمپلکس ها است. هر چند که در کمپلکس [Co(Me<sub>2</sub>salpn)(pip)] علاوه بر پیک ایمینی، پیکی مربوط به ارتعاش پیپیریدین در  $\text{cm}^{-1}$  ۳۵۵۱ نیز دیده می شود. در کمپلکس های تهیه شده در این طرح پیک مربوط به ارتعاش هیدروژن های آلیفاتیک و آروماتیک در ناحیه  $\text{cm}^{-1}$  ۳۰۰۰ و پیک مربوط به ارتعاشات C=C حلقه در ناحیه  $\text{cm}^{-1}$  ۱۴۰۰-۱۶۰۰ دیده می شوند. در صورتی که در طیف ارتعاشی نانوذرات تهیه شده (شکل ۲)، تنها پیک ارتعاشی گروه Co-O که در محدوده  $\text{cm}^{-1}$  ۵۷۰ و ۶۶۲ ظاهر می شود دیده است، وجود این دو پیک در طیف ارتعاشی خود دلیلی بر تشکیل نانوذرات Co<sub>3</sub>O<sub>4</sub> تهیه شده است [۱۵-۶].



شکل ۲: طیف ارتعاشی نانوذرات تهیه شده از کمپلکس [Co(Me<sub>2</sub>salpn)(py)] (بالا) و کمپلکس [Co(Me<sub>2</sub>salpn)(pip)] (پایین)

### ۳-۳- طیف XRD کمپلکس‌ها و نانوذرات

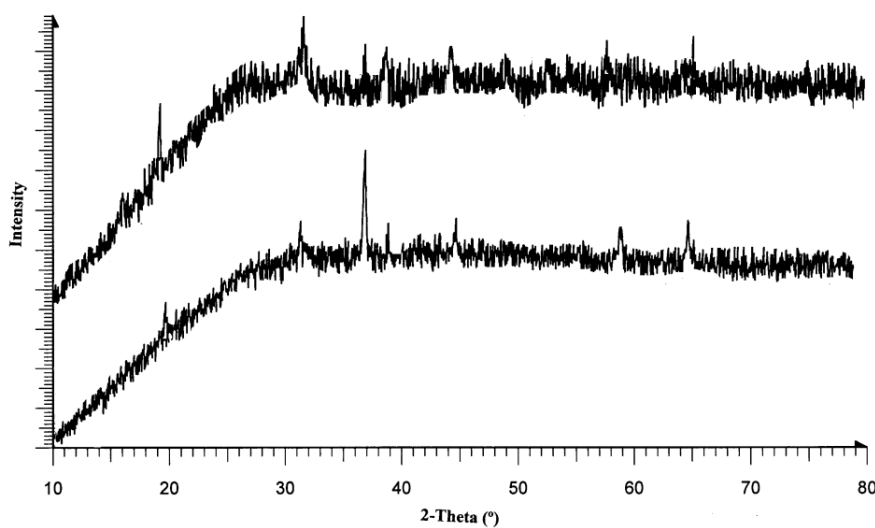
طیف XRD کمپلکس‌ها و نانوذرات تهیه شده به ترتیب در شکل‌های ۳ و ۴ ارائه شده‌اند. با مقایسه‌ی الگوهای پراش پرتو ایکس به-

دست آمده برای نانوذرات با مقالات منتشر شده در این زمینه، وجود نانوذرات کبالت اکسید با فرمول  $\text{Co}_3\text{O}_4$  را تایید می‌کنند.

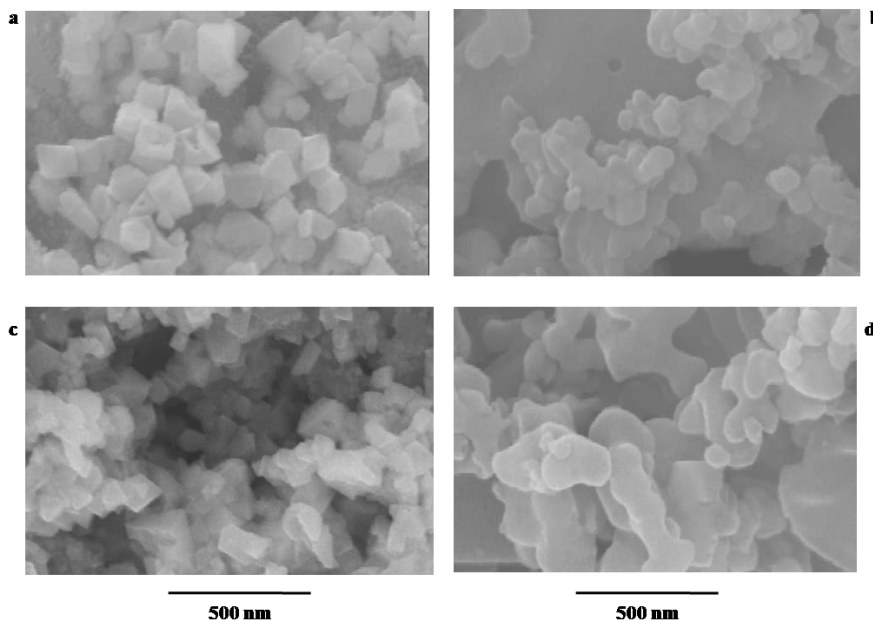
### ۴-۳- نتایج میکروسکوپ الکترونی روبشی (SEM)

تصاویر حاصل از میکروسکوپ الکترونی روبشی (SEM) کمپلکس‌ها و نانوذرات تهیه شده از آن‌ها در شکل ۴ نشان داده شده است.

همان‌طور که مشاهده می‌کنید نانوذرات حاصل از کمپلکس‌ها (تصاویر b و d شکل ۴) تقریباً ساختار مسطح و نانوذرات کبالت اکسید حاصل از کمپلکس‌ها (تصاویر a و c شکل ۴) ساختار مکعبی دارند. متوسط اندازه نانوذرات تهیه شده برای کمپلکس‌ها بین ۱۰۰-۱۵۰ نانومتر و برای کنانوذرات بالت اکسید تهیه شده بین ۷۵-۱۰۰ نانومتر است.



شکل ۳: طیف XRD نانو ذرات تهیه شده از کمپلکس  $[Co(Me_2salpn)(py)]$  (پایین) و کمپلکس  $[Co(Me_2salpn)(pip)]$  (بالا)



شکل ۴: تصاویر SEM کمپلکس  $[Co(Me_2salpn)(py)]$  (راست) و نانوذرات کبالت اکسید حاصل از آن (راست)

#### ۴- بحث و نتیجه‌گیری

به کمک حرارت دادن کمپلکس‌های بازشیف کبالت  $[Co(Me_2salpn)(py)]$  و  $[Co(Me_2salpn)(pip)]$  به عنوان مواد اولیه جدید در دماهای ۴۵۰ درجه سلسیوس و به مدت ۳/۵ ساعت نانوذرات کبالت اکسید با موفقیت تهیه شدند. نتایج حاصل از طیفسنجی ارتعاشی مادون قرمز (FT-IR) و پراش پرتو ایکس (XRD) خالص بودن ترکیبات را به دلیل عدم وجود پیک‌های دیگر تایید می‌کنند. مورفولوژی نانوذرات حاصل به کمک SEM بررسی شدند. شکل و اندازه برای کمپلکس‌های تهیه شده و همچنین نانوذرات حاصل از آن‌ها تقریباً یکنواخت و یکسان بوده و اندازه‌ی ذرات آن‌ها بین ۷۵ تا ۱۵۰ نانومتر متغیر می‌باشد. نتایج نشان می‌دهد که تنها اختلاف روی

پیش‌ماده اولیه (آمین کوئوردینه شده روی کمپلکس باز شیف کبالت) تاثیر چندانی بر روی دمای مورد نیاز برای تهیه نانوذرات و اندازه آن‌ها ندارد.

## ۶- تشرک و قدردانی

بر خود واجب می‌دانیم از حمایت‌های سازمان بسیج علمی پژوهشی و فناوری سپاه نینوا و دانشگاه گلستان در انجام این طرح پژوهشی کمال تشکر را داشته باشیم.

## ۵- مراجع

- [1] S. Farhadi, and K. Pourzare, *Mater. Res. Bull.* **47** (2012) 1550-1556.
- [2] M. Salavati-Niasari, F. Davar, M. Mazaheri, and M. Shaterian, *J. Mag. Mag. Mater.* **320** (2008) 575-578.
- [3] M. Salavati-Niasari, A. Khansari, and F. Davar, *Inorg. Chim. Acta* **362** (2009) 4937-4942.
- [4] C. Vidal-Abarca, P. Lavela, and J.L. Tirado, *Electrochim. Solid-state Lett.* **11** (2008) A198-A201.
- [5] X. Wang, L. Tu, X.-L. Wu, F. Yuan, Y.-G. Guo, Y. Ma, and J. Yao, *J. Phys. Chem.* **C113** (2009) 15553-15558.
- [6] H. Y. Zhu, J. Luo, J.K. Liang, G.H. Rao, J.B. Li, J.Y. Zhang, and Z.M. Du, *Phys. B* **403** (2008) 3141-3145.
- [7] L. Lv, Y. Su, X. Liu, H. Zheng, and X. Wang, *J. All. Compd.* **553** (2013) 163-166.
- [8] J. Xu, L. Gao, J. Cao, W. Wang, and Z. Chen, *Electrochim. Acta* **56** (2010) 732-736.
- [9] K. Sinko, G. Szabo, and M. Zrinyi, *J. Nanosci. Nanotech.* **11** (2011) 1-9.
- [10] F. Mohandes, F. Davar, and M. Salavati-Niasari, *J. Mag. Mag. Mater.* **322** (2010) 872-877.
- [11] R. Xu, J. Wang, Q. Li, G. Sun, E. Wang, S. Li, J. Gu, and M. Ju, *J. Solid State Chem.* **182** (2009) 3177-3182.
- [12] V. Shukla, C.P. Singh, C. Mukherjee, K.S. Bindra, *Chem. Phys. Lett.* **555** (2013) 149-153.
- [13] H. Yan, X. Xie, K. Liu, H. Cao, X. Zhang, and Y. Luo, *Powder Tech.* **221** (2012) 199-202.
- [14] W. Yuan, D. Xie, Z. Dong, Q. Su, J. Zhang, G. Du, and B. Xu, *Mater. Lett.* **97** (2013) 129-132.
- [15] S. Farhadi, and J. Safabakhsh, *J. All. Compd.* **515** (2012) 180-185.